

Ultimo aggiornamento delle informazioni: Gennaio 2025

Configurazione di prodotto: RP08.G0

RP08.G0: Apparecchio a plafone - Ø234 - UGR < 19 - Bianco/Bianco Trasparente

**Codice prodotto**

RP08.G0: Apparecchio a plafone - Ø234 - UGR < 19 - Bianco/Bianco Trasparente

Descrizione tecnica

Apparecchio per illuminazione diretta - installazione a soffitto. Sorgente LED ad elevato indice di resa cromatica - emissione a luminanza controllata $L < 3000 \text{ cd/mq}$ - UGR < 19 - ideale per ambienti con uso di videotermini. Gruppo emittente in PMMA composto da riflettore prismaticizzato trasparente in combinazione con recuperatore di flusso e schermo diffusore - una cover interna in policarbonato definisce visivamente il gruppo ottico. Struttura esterna del corpo luminoso a doppio elemento in alluminio tornito - finitura con verniciatura uniforme o combinata. Il pratico sistema di fissaggio a baionetta permette di separare le due sezioni per eseguire le operazioni di cablaggio - un cavo di ritenuta in acciaio previene la possibilità di caduta della sezione divisa. Unità di alimentazione dimmerabile DALI integrata nel corpo luminoso.

Installazione

installazione a soffitto direttamente sulla struttura separabile in due sezioni con sistema a baionetta.

Colore

Bianco/Bianco Trasparente (G0)

Peso (Kg)

1.79

Montaggio

a soffitto

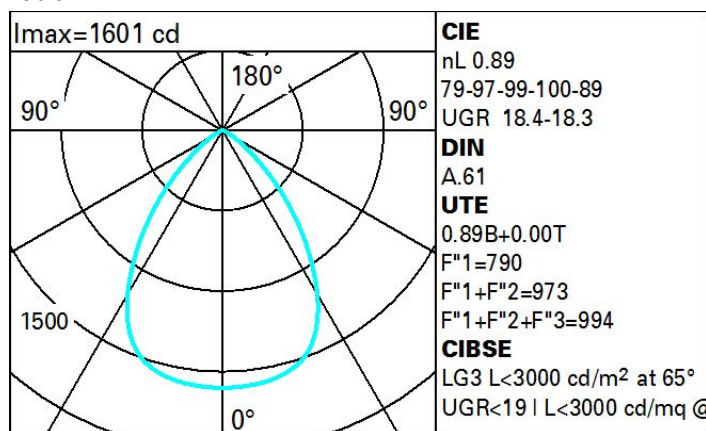
Cablaggio

Driver dimmerabile DALI integrato - morsettiera di cablaggio posizionata nella sezione superiore della struttura.

Soddisfa EN60598-1 e relative note

**Dati tecnici**

| | | | |
|--|-------|------------------------------------|---------------------------------|
| Im di sistema: | 2359 | Temperatura colore [K]: | 3500 |
| W di sistema: | 20.8 | MacAdam Step: | 2 |
| Im di sorgente: | 2650 | Life Time LED 1: | > 50,000h - L90 - B10 (Ta 25°C) |
| W di sorgente: | 18 | Codice lampada: | LED |
| Efficienza luminosa (lm/W, dati di sistema): | 113.4 | Numero di lampade per vano ottico: | 1 |
| Im in modalità emergenza: | - | Codice ZVEI: | LED |
| Flusso totale emesso a 90° o superiore [Lm]: | 0 | Numero di vani ottici: | 1 |
| Light Output Ratio (L.O.R.) [%]: | 89 | Control: | DALI-2 |
| CRI (minimo): | 90 | | |

Polare

Coefficienti di utilizzazione

| R | 77 | 75 | 73 | 71 | 55 | 53 | 33 | 00 | DRR |
|------|----|----|----|----|----|----|----|----|-----|
| K0.8 | 72 | 65 | 61 | 58 | 64 | 60 | 60 | 56 | 63 |
| 1.0 | 77 | 71 | 67 | 64 | 70 | 66 | 66 | 62 | 69 |
| 1.5 | 83 | 79 | 76 | 73 | 78 | 75 | 74 | 70 | 79 |
| 2.0 | 87 | 84 | 81 | 79 | 82 | 80 | 79 | 76 | 85 |
| 2.5 | 89 | 87 | 84 | 83 | 85 | 83 | 82 | 79 | 89 |
| 3.0 | 91 | 89 | 87 | 85 | 87 | 85 | 84 | 81 | 91 |
| 4.0 | 92 | 90 | 89 | 88 | 89 | 88 | 86 | 83 | 94 |
| 5.0 | 93 | 92 | 90 | 89 | 90 | 89 | 87 | 85 | 95 |

Curva limite di luminanza

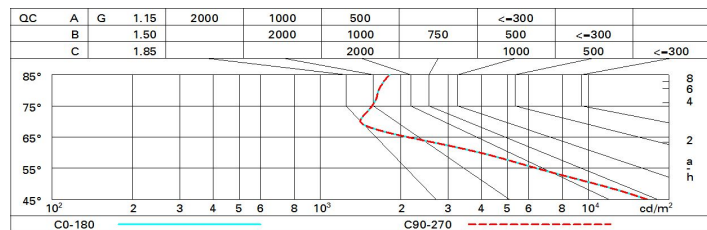


Diagramma UGR

| Corrected UGR values (at 2050 lm bare lamp luminous flux) | | | | | | | | | | | |
|--|------|---------------------|------|------|------|------|-------------------|------|------|------|------|
| Reflect.: ceiling/cav walls work pl. Room dim x y | | viewed crosswise | | | | | viewed endwise | | | | |
| 2H | 2H | 18.5 | 19.4 | 18.8 | 19.6 | 19.9 | 18.5 | 19.4 | 18.8 | 19.6 | 19.9 |
| | 3H | 18.5 | 19.2 | 18.8 | 19.5 | 19.8 | 18.5 | 19.2 | 18.8 | 19.5 | 19.8 |
| | 4H | 18.4 | 19.1 | 18.8 | 19.4 | 19.7 | 18.4 | 19.1 | 18.8 | 19.4 | 19.7 |
| | 6H | 18.4 | 19.0 | 18.8 | 19.4 | 19.7 | 18.4 | 19.0 | 18.7 | 19.3 | 19.6 |
| | 8H | 18.4 | 19.0 | 18.8 | 19.3 | 19.7 | 18.3 | 18.9 | 18.7 | 19.3 | 19.6 |
| | 12H | 18.4 | 19.0 | 18.8 | 19.3 | 19.7 | 18.3 | 18.9 | 18.7 | 19.2 | 19.6 |
| 4H | 2H | 18.4 | 19.1 | 18.8 | 19.4 | 19.7 | 18.4 | 19.1 | 18.8 | 19.4 | 19.7 |
| | 3H | 18.4 | 19.0 | 18.8 | 19.3 | 19.7 | 18.4 | 19.0 | 18.8 | 19.3 | 19.7 |
| | 4H | 18.4 | 18.9 | 18.8 | 19.2 | 19.6 | 18.4 | 18.9 | 18.8 | 19.2 | 19.6 |
| | 6H | 18.4 | 18.8 | 18.8 | 19.2 | 19.6 | 18.3 | 18.8 | 18.8 | 19.2 | 19.6 |
| | 8H | 18.4 | 18.8 | 18.8 | 19.2 | 19.6 | 18.3 | 18.7 | 18.7 | 19.1 | 19.5 |
| | 12H | 18.4 | 18.7 | 18.8 | 19.2 | 19.6 | 18.2 | 18.6 | 18.7 | 19.0 | 19.5 |
| 8H | 4H | 18.3 | 18.7 | 18.7 | 19.1 | 19.5 | 18.4 | 18.8 | 18.8 | 19.2 | 19.6 |
| | 6H | 18.3 | 18.7 | 18.8 | 19.1 | 19.6 | 18.4 | 18.7 | 18.8 | 19.1 | 19.6 |
| | 8H | 18.3 | 18.6 | 18.8 | 19.1 | 19.6 | 18.3 | 18.6 | 18.8 | 19.1 | 19.6 |
| | 12H | 18.4 | 18.6 | 18.9 | 19.1 | 19.6 | 18.3 | 18.6 | 18.8 | 19.1 | 19.6 |
| 12H | 4H | 18.2 | 18.6 | 18.7 | 19.0 | 19.5 | 18.4 | 18.7 | 18.8 | 19.2 | 19.6 |
| | 6H | 18.3 | 18.6 | 18.8 | 19.0 | 19.5 | 18.4 | 18.6 | 18.9 | 19.1 | 19.6 |
| | 8H | 18.3 | 18.6 | 18.8 | 19.1 | 19.6 | 18.4 | 18.6 | 18.9 | 19.1 | 19.6 |
| Variations with the observer position at spacing: | | | | | | | | | | | |
| S = | 1.0H | 1.6 / -3.0 | | | | | 1.6 / -3.0 | | | | |
| | 1.5H | 3.2 / -5.2 | | | | | 3.2 / -5.2 | | | | |
| | 2.0H | 5.0 / -6.5 | | | | | 5.0 / -6.5 | | | | |